

Das Ising Modell

Frank Zirkeibach

28. Mai 2003

Inhaltsverzeichnis

1	Einführung	3
2	Lösungen des Ising Modells	15
3	Monte Carlo Simulation	31
4	Anwendungen	36
5	Quellen	41

1 Einführung

Zustandssumme und benötigte Größen

Zustandssumme: Summation über alle möglichen Mikrozustände

$$Z = \sum_{i=1}^N e^{\frac{-E_i}{k_B T}} = \text{Sp} e^{-\beta H} \quad \beta = \frac{1}{k_B T}$$

Ableitung wichtiger Größen:

- Wahrscheinlichkeit für Zustand i : $P_i = \frac{1}{Z} e^{-E_i \beta}$

- freie Energie: $F = -k_B T \ln Z$

- Magnetisierung: $M = -\frac{\partial F}{\partial B}$

- magnetische Suszeptibilität: $\chi = -\frac{\partial M}{\partial H}$

- spezifische Wärmekapazität: $c = \frac{\partial F}{\partial T}$

Phasenübergänge

Die Phase ist eine mögliche Zustandsform eines makroskopischen Systems im thermischen Gleichgewicht. Unterschiedliche Phasen äußern sich in unterschiedlichen Werten makroskopischer Observablen.

Beispiele:

- Dichte (H_2O)
- Magnetisierung (Nickel)
- elektrische Leitfähigkeit ($YBa_2Cu_3O_7$)

- Phasenübergang verbunden mit kritischen Bereich einer Variablen
- diskontinuierlich: Unstetigkeit in erster Ableitung eines thermodynamischen Potentials
 - kontinuierlich: Stetigkeit der ersten Ableitung, Unstetigkeit der zweiten Ableitung (Bsp: Magnetisierung - Suszeptibilität)

Kritische Exponenten

Physikalische Größen gehorchen Potenzgesetzen nahe des kritischen

Bereichs

- Magnetisierung $M \sim |T - T_C|^\beta$
- spezifische Wärmekapazität $c \sim |T - T_C|^\alpha$
- Suszeptibilität $\chi \sim |T - T_C|^{-\gamma}$

Anmerkung:

→ Abhängig von Dimension, Reichweite und Struktur der Wechselwirkung → Kritische Exponenten universell →

Universalitätsklassen

Idee des Ising Modells

Modell für magnetische Phasenübergänge.

Modellannahmen:

- d -dimensionales periodisches Gitter, $d = 1, 2, 3$
- permanentes magnetisches Moment mit 2 Einstellmöglichkeiten an jedem Gitterpunkt

$$\mu_i = \mu S_i \quad S_i = \pm 1 \quad \forall i$$

- lokalisierte Momente wechselwirken miteinander, Kopplungskonstante sei $\frac{J_{ij}}{\mu^2}$

Hamilton-Funktion:

$$H = - \sum_{\langle i,j \rangle} J_{ij} S_i S_j - \mu B_0 \sum_i S_i, \text{ mit}$$

$\langle i, j \rangle =$ nächste Nachbarn im Gitter, $\vec{B} = (0, 0, B_0)$

Man erahnt: ($J > 0$, Ferromagnet)

• $T \rightarrow 0$:

→ Zustand niedriger Energie → Spins gleich ausgerichtet
→ hohe Magnetisierung

• $T \rightarrow \infty$:

→ Zustand hoher Energie → Spins zufällig ausgerichtet
→ keine Magnetisierung

Ergebnis: spontane Magnetisierung unterhalb kritischer
Temperatur ohne externes B -Feld

Molekularfäherung:

Approximation: Vernachlässigung der Spinfuktationen
 $\langle S_i - S_j \rangle$

Spin-Wechselwirkungs-Term:

$$S_i S_j = (S_i - m + m)(S_j - m + m)$$

$$= m^2 + m(S_i - m) + m(S_j - m) + (S_i - m)(S_j - m)$$

wobei:

• $m = \frac{1}{N} \sum_i S_i$, mittlere Magnetisierung pro Spin

• $\langle S_i - S_j \rangle$ in MFN vernachlässigt

• Definition: $\sum_j J_{ij} \equiv J' \cdot z$, mit z Anzahl der nächsten Nachbarn

Hamiltonian:

$$H_{MFN} = \frac{1}{2} N J m^2 - (J m + \mu B_0) \sum_i^N S_i$$

Zustandssumme:

$$Z = e^{-\beta N J m^2 / 2} \sum_{S_1} \dots \sum_{S_N} e^{\beta (J m + \mu B_0) \sum_i S_i} = e^{-\beta N J m^2 / 2} \left(\sum_{S=\pm 1} e^{\beta (J m + \mu B_0) S} \right)^N = e^{-\beta N J m^2 / 2} \left(2 \cosh(\beta (J m + \mu B_0)) \right)^N$$

freie Energie und Magnetisierung pro Spin:

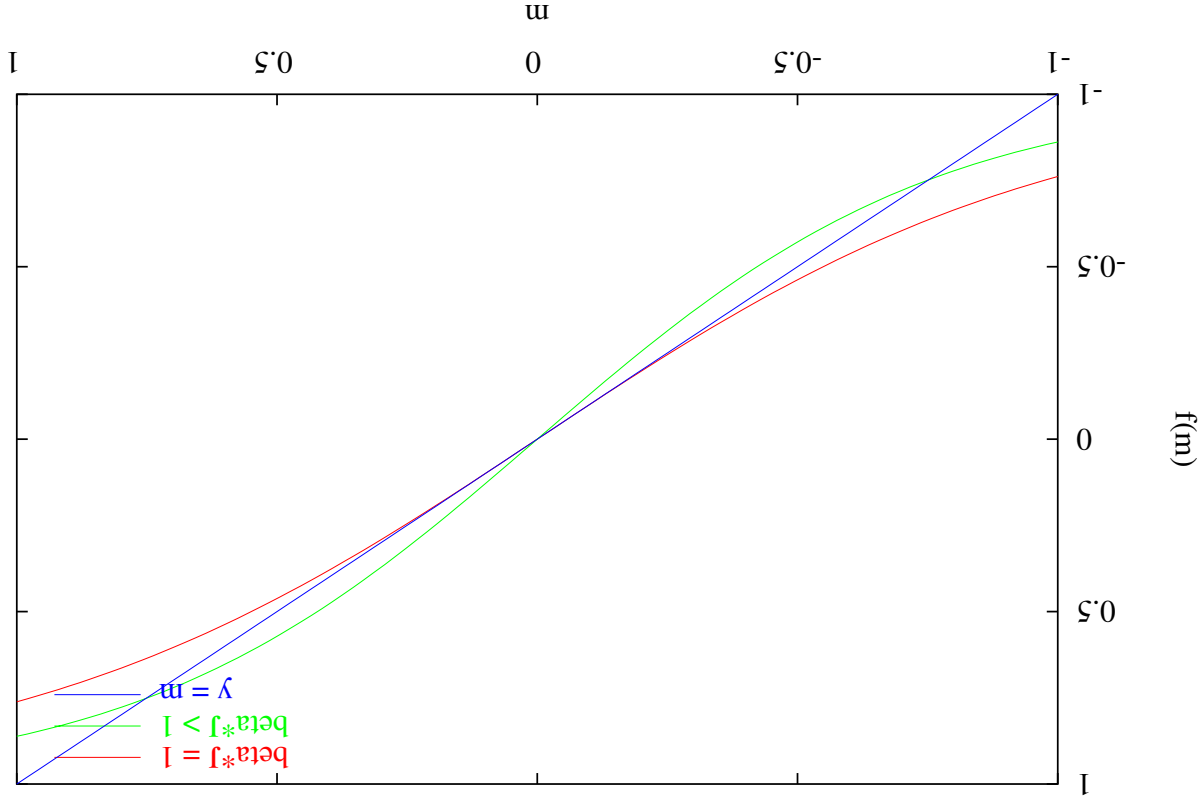
$$g = -\frac{1}{N\beta} \ln Z = -\frac{1}{2} J m^2 - \frac{1}{\beta} \ln \left(2 \cosh(\beta(Jm + \mu B_0)) \right)$$
$$m = - \left(\frac{\partial g}{\partial B_0} \right) = \tanh(\beta(Jm + \mu B_0))$$

implizite Bestimmungsgleichung für $B_0 = 0$:

$$\tanh(\beta J m) = m$$

- Lösung: $m \neq 0 \iff \frac{\partial(\tanh(\beta J m))}{\partial m} > 1$
- kritische Temperatur: $\frac{\partial(\tanh(\beta J m))}{\partial m} = 1$ für $m = 0$

Graphische Bestimmung der Magnetisierung



- Phasenübergang unabhängig von Gitterdimension
- Widerspruch zu exakter $d = 1$ Lösung
- Typisch für alle klassischen Theorien (Bsp: Landau-Theorie)

2 Lösungen des Ising Modells

Lösung für $d = 1$



Hamilton-Funktion:

$$H = - \sum_N^i J_{i,i+1} S_i S_{i+1} - \mu B_0 \sum_N^i S_i$$

Annahmen:

- periodische Randbedingungen, $S_{N+1} \equiv S_1$
- Translationsinvarianz, $J_{i,i+1} \equiv J$

Abkürzung: $K = \beta J$, $h = \mu B \beta$

Energie des Systems:

$$E = -J \sum_{i=1}^N S_i S_{i+1} - \mu B_0 \sum_{i=1}^N S_i$$

Zustandssumme:

$$Z = \sum_{S_1} \sum_{S_2} \cdots \sum_{S_N} e^{\beta(K \sum_{i=1}^N S_i S_{i+1} + \frac{z}{2} \sum_{i=1}^N S_i + S_{i,i+1})}$$

Bestimmung der Zustandssumme mit Transfer-Matrix-Methode:

Finde Matrix \mathbf{T} mit folgenden Eigenschaften:

$$\langle S_i | \mathbf{T} | S_{i,i+1} \rangle = e^{K S_i S_{i,i+1} + \frac{h}{2} (S_i + S_{i,i+1})}$$

also:

$$\langle 1 | \mathbf{T} | 1 \rangle = e^{K+h}$$

$$\langle -1 | \mathbf{T} | -1 \rangle = e^{K-h}$$

$$\langle 1 | \mathbf{T} | -1 \rangle = \langle -1 | \mathbf{T} | 1 \rangle = e^{-K}$$

$$|S_i = +1\rangle = \begin{pmatrix} 0 \\ 1 \end{pmatrix}, \quad |S_i = -1\rangle = \begin{pmatrix} 1 \\ 0 \end{pmatrix}$$

Die Matrix muss also wie folgt aussehen:

$$\text{Transfer-Matrix} = \mathbf{T} = \begin{pmatrix} e^{-K} & e^{-K-h} \\ e^{-K+h} & e^{-K} \end{pmatrix}$$

Zustandssumme:

$$Z = \sum_{S_1} \sum_{S_2} \dots \sum_{S_N} \langle S_1 | \mathbf{T} | S_2 \rangle \langle S_2 | \mathbf{T} | S_3 \rangle \dots \langle S_N | \mathbf{T} | S_1 \rangle = \sum_{S_1} \langle S_1 | \mathbf{T}_N | S_1 \rangle = \text{Sp } \mathbf{T}_N$$

- Trick: Vollständigkeit der Spinzustände
- $\text{Sp } \mathbf{T}_N$ ist Darstellungsunabhängig
- Eigenwerte: $\det(\mathbf{T} - \lambda \mathbf{1}) = 0$

$$\lambda_{\pm} = e^K (\cosh h \pm \sqrt{\sinh^2 h + e^{-4K}})$$

$$Z = \lambda_N^- + \lambda_N^+ = \text{Sp } \mathbf{T}_N$$

Für den Fall $B_0 = 0$ gilt:

$$\lambda_{\pm} = e^K \pm e^{-K}$$

$$Z = 2^N \cosh_N(K) + 2^N \sinh_N(K) \xrightarrow{N \gg 1} 2^N \cosh_N(K)$$

$$F = -k_B T \ln Z \xrightarrow{N \gg 1} -N k_B T \ln(2 \cosh(\beta J))$$

weil λ_N^+ viel größer als λ_N^- . (thermodynamischer Limes)

Magnetisierung:

$$M = \frac{1}{N} \sum_{\{s_i\}} \sum_i \mu s_i e^{-\beta H}$$

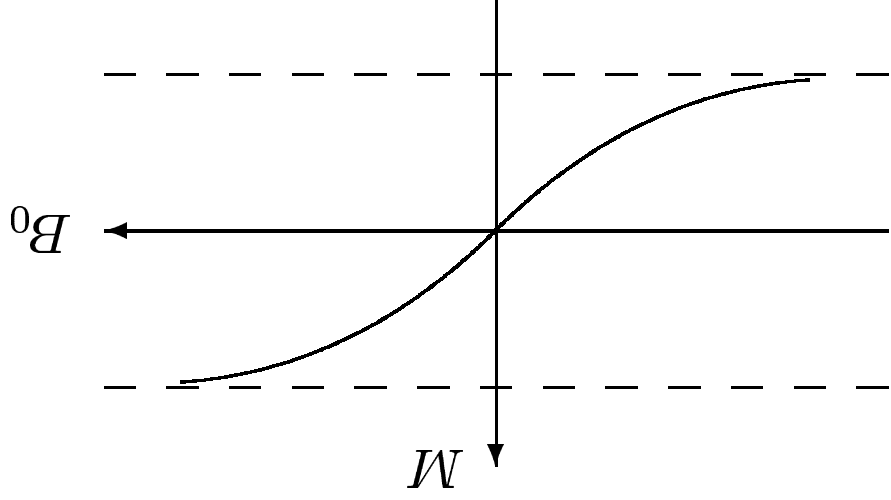
$$= \frac{1}{N} \left(\frac{\partial}{\partial B_0} \ln Z \right)$$

$$\xrightarrow{N \gg 1} \frac{\partial \lambda^+}{\partial B_0}$$

$$= N \mu \frac{\sqrt{\cosh^2(\beta \mu B_0) - 2e^{-2\beta J} \sinh(2\beta J)}}{\sinh(\beta \mu B_0)}$$

Abbildung:

- Magnetisierung in Abhängigkeit vom Magnetfeld
- Magnetisierung verschwindet für alle Temperaturen wenn kein Magnetfeld vorhanden ist
- Sättigung für große Magnetfelder



Erkenntnis:

- magnetisches Moment verschwindet für alle endlichen Temperaturen wenn $B_0 = 0$
- es gibt keinen Phasenübergang für das eindimensionale Isingmodell für $T > 0$

Für $T = 0$:

$\lim_{T \rightarrow 0} \frac{\lambda_+}{\lambda_-} = 1$, ist obere Approximation nichtmehr gültig

Phasenübergang bei $B_0 = T = 0$ (Korrelationslänge geht gegen unendlich)

Kritische Exponenten:

$$\alpha = 1 \quad \beta = 0 \quad \gamma = 1$$

Lösung für $d = 2$

- TFM analog $d = 1$ Lösung
- nur Lösung für $B = 0$

Hamiltonian:

$$H = -J \sum_{(i,j)} (S_{i,j} S_{i+1,j} + S_{i,j} S_{i,j+1}) - \mu B_0 \sum_{i,j} S_{i,j}$$

Indizes \equiv Gitterpunkte der Spins.

Abkürzung:

$$H = \sum_{j=1}^J \left(E(\mu_j, \mu_{j+1}) + E(\mu_j) \right)$$

wobei

$$E(\mu_j, \mu_k) \equiv - \sum_{i=1}^N S_{i,j} S_{i,k}$$

$$E(\mu_j) \equiv -J \sum_{i=1}^N S_{i,j} S_{i+1,j} - \mu B_0 \sum_{i,j} S_j$$

$$\mu_j \equiv \{S_{1,j}, \dots, S_{N,j}\}$$

Transfer-Matrix \mathbf{T} , mit Matrixelementen:

$$\langle \mu_j | \mathbf{T} | \mu_k \rangle = e^{-\beta \left(E(\mu_j, \mu_k) + E(\mu_j) \right)}$$

$2^N \times 2^N$ - Matrix, Diagonalisierung.

[7] Kerson Huang, Statistical mechanics

Analog zum $d = 1$ Fall gilt:

$$Z = \text{Sp } \mathbf{T}^N$$

freie Energie pro Spin $f = \lim_{N \rightarrow \infty} \frac{1}{N} (-k_B T \ln Z)$:

$$f = -k_B T \ln \left(2 \cosh(2\beta J) \int_0^\pi \frac{k_B T}{2\pi} d\phi \ln \frac{1}{2} \left(1 + \sqrt{1 - K_2 \sin^2 \phi} \right) \right)$$

mit $K = \frac{\cosh(2\beta J) \coth(2\beta J)}{2}$

Magnetisierung:

$$m = \begin{cases} 0 & : T > T_C \\ (1 - \sinh^{-4}(2\beta J))^{\frac{1}{8}} & : T < T_C \end{cases}$$

kritische Temperatur:

$$2 \tanh^2(2\beta J) = 1, \text{ also } k_B T_C \approx 2.269185 \cdot J$$

spezifische Wärme: (logarithmische Divergenz)

$$C = k_B \frac{\pi}{2} \left(\frac{2J}{k_B T_C} \right) \left(-\ln \left(1 - \frac{T}{T_C} \right) + \ln \left(\frac{k_B T_C}{2J} \right) - \left(1 + \frac{\pi}{4} \right) \right)$$

kritische Exponenten:

$$\beta = \frac{1}{8}$$

$$\alpha = 0$$

Fazit:

- Phasenübergang zweiter Ordnung
- Spontane Magnetisierung wenn $T > T_c$ ohne vorhandenes Magnetfeld

Lösung für $d = 3$

- keine exakte analytische Lösung
- überzeugende Resultate durch Approximation und Monte Carlo Simulation
- keine weiteren Informationen aus exakter Lösung erwartet
- $d = 3$ Ising Modell zeigt Phasenübergänge

3 Monte Carlo Simulation

Simulationen des Ising Modells durch Monte Carlo Simulation.

Gesucht sei der Erwartungswert $\langle A \rangle$.

$$\langle A \rangle = \sum_i p_i A_i, \text{ wobei}$$

$$p_i = \frac{e^{-\beta E_i}}{\sum_j e^{-\beta E_j}} \text{ Boltzmann Wahrscheinlichkeitsverteilung}$$

E_i Energie im Zustand i

important sampling: Aufsummieren einiger zufälliger Zustände
(Boltzmann verteilt).

$$\langle A \rangle_{est} = \frac{1}{N} \sum_{i=1}^N A(i)$$

$N \equiv$ Anzahl der Iterationen in der Computersimulation

- $P(A, t)$, Wahrscheinlichkeit der Konfiguration A zur Zeit t
- $W(A \rightarrow B)$, Wahrscheinlichkeit pro Zeiteinheit, daß die Konfiguration von A nach B wechselt

Damit gilt:

$$P(A, t+1) = P(A, t) + \sum^B \left(W(B \rightarrow A)P(B, t) - W(A \rightarrow B)P(A, t) \right)$$

Vergessen der Anfangskonfiguration für große t , $P(A, t) \rightarrow p(A)$.
Bedingung für zeitunabhängige Wahrscheinlichkeitsverteilung:

$$W(A \rightarrow B)P(A, t) = W(B \rightarrow A)P(B, t) \quad (\text{detailed balance})$$

somit gilt:

$$\frac{W(A \rightarrow B)}{W(B \rightarrow A)} = \frac{p(B)}{p(A)} = \frac{e^{-\beta E(B)}}{e^{-\beta E(A)}} = e^{-\beta \delta E}$$

Realisierung einer Boltzmannverteilung: Metropolis Algorithmus

[4]

<http://www.npac.syr.edu/users/gcf/slitex/CPS713MonteCarlo96/>

$$W(A \rightarrow B) = \begin{cases} e^{-\beta \Delta E} & : \Delta E > 0 \\ 1 & : \Delta E < 0 \end{cases}$$

Pseudocode:

- Gehe alle Gitterplätze durch
- Berechne ΔE für Spinflip (Nächste Nachbarn anschauen)
- Wenn $\Delta E < 0$ flip, ansonsten nur wenn Zufallszahl kleiner $e^{-\frac{\Delta E}{k_B T}}$
- Spins aufsummieren, dies entspricht der Magnetisierung (nach genügend vielen Iterationen (N^3))

4 Anwendungen

Spingläser ([8] W. Kinzel, Spingläser, Optimierung und Gedächtnis)

• Betrifft: magnetische Legierungen (Bsp.: $An_{1-x}Fe_x$)

• Beobachtungen:

– keine spontane Magnetisierung

– zufälliges Einfrieren der Spins unterhalb kritischer

Temperatur

– Remanenz nach kurzen Einschalten eines externen

Magnetfelds, sehr langsame Relaxation

• Modell:

– Unordnung und Konkurrenz der magnetischen

Wechselwirkung

– Hamilton: $H = - \sum J_{ij} S_i S_j - \mu B_0 \sum S_i$, wobei die J_{ij}

zufällige, symmetrisch um 0 verteilte Kopplung darstellt

Spingläser: Optimierung und Gedächtnis

- Traveling Salesman Problem:
 - „Aufheizen“ des Systems, Wegstrecken bekommen gleiche Gewichtung
 - „Abkühlen“ des Systems, Zustand niedrigster Energie stellt sich ein, der ideale Weg?

• Gedächtnis:

– Modell:

S_i → Neuron i

$$S_i = 1$$

→ Neuron i sendet Impuls

$$S_i = -1$$

→ Neuron i sendet keinen Impuls

$$J_{ij}$$

→ erregende und hemmende Synapsen

$$\mu B_0$$

→ Potential einer sensorischen Nervenzelle

– einige Eigenschaften

* Fähigkeit spontane Information zu speichern

* Information wird nach Inhalt zurückgerufen, nicht nach Adresse, daher schneller als im Computer

* häufige Information wird stärker gespeichert

(Langzeitgedächtnis)

* Relaxation wenig oft erhaltener Information

(Kurzzeitgedächtnis)

- Ghetto Formationen [5]

$|S = +1\rangle \longleftrightarrow$ immigrant

$|S = -1\rangle \longleftrightarrow$ native

$k_B T \longleftrightarrow$ social temperature

$m \longleftrightarrow$ coexistence

- Social phase transition [6]

$H \longleftrightarrow$ global trend, world wide fashion

$\delta E \longleftrightarrow$ possible mind change

$S_i \longleftrightarrow$ opinion

- weitere Anwendungen

– Quantum Game Theory

– duopoly markets

5 Quellen

1. W. Nolting, Grundkurs: Statistische Physik, Band 6
2. Rodney J. Baxter, Exactly Solved Models in Statistical Mechanics
3. http://www.nyu.edu/classes/tuckerman/stat.mech/lectures/lecture_26/node2.html
4. <http://www.npac.syr.edu/users/gcf/sitex/CPST13MonteCarlo96/>
5. Hildgard Meyer-Ortmanns, Abstract: Immigration, integration and ghetto formation
6. K. Malarz, Abstract: Social phase transition in Solomon network
7. Kerson Huang, Statistical mechanics
8. W. Kinzel, Spingläser, Optimierung und Gedächtnis